

알루미나水和物의 結晶轉移에 미치는 濕度의 影響

李 啓 背·柳 柄 泰

忠南大學校 藥學科

Effect of Humidity on Polymorphic Transformation of Hydrous Aluminum Oxide

Gye-Ju Rhee and Byeong-Tae Yoo

(Received January 28, 1983)

The effect of humidity on crystallization and polymorphic transformation of hydrous aluminum oxide under various humidity at 37° was examined by means of X-ray diffraction, scanning electron micrograph, IR spectra and DTA.

The humidity was an important factor influencing crystallization of hydrous aluminum oxide. The growth of crystal was strongly accelerated by humidity. The aging process is assumed that it is composed of two separate steps, an increase of the diffraction around 36~42°, and an appearance and its development of the peak at 18~20° of 2θ value. The former is considered to be nucleation and the latter correspond to the growth period on crystallization.

The crystalline form of aging products was various depending on the degree of humidity, directly it leads to the eventual formation of bayerite in more than 72%, böhmite in 50% and resembled to Nordstandite in 0% relative humidity, respectively but once formed, it was mostly stable in each surroundings and does not transform to the other more stable form in solid state even after aging for five years.

The mechanism responsible for aging is further polymerization process of six-membered rings by deprotonation-dehydration reaction in which positively charged polynuclear hydroxy aluminum complexes formed in the presence of moisture are joined at their edges by double hydroxide bridges.

Department of Pharmacy, Chungnam National University.

이 論文은 1982年度 文教部 學術研究 助成費에 依하여 研究되었음.

無定形 알루미나와는 無定形轉移이나 製造條件에 따라 알루미늄과의 一起式 硅酸
 $\gamma\text{-Al}_2\text{O}_3\cdot\text{H}_2\text{O}$, $\alpha\text{-Al}_2\text{O}_3\cdot3\text{H}_2\text{O}$, $\gamma\text{-Al}_2\text{O}_3\cdot3\text{H}_2\text{O}$ 를 비롯하여 polyalumina, hydroxide, $2\text{Al}(\text{OH})_3\cdot\text{H}_2\text{O}$, $4\text{Al}(\text{OH})_3\cdot3\text{H}_2\text{O}$, $8\text{Al}(\text{OH})_3\cdot7\text{H}_2\text{O}$ 등 각종 形態로 变化되고 있다.

無定形 알루미나水和物은 여러 가지 環境에 따라 轉化되며 이에 따라 物相이 減少되고 結晶
의 一水和物(böhmite) 또는 三水和物(bayerite, gibbsite, hydrargillite, nordstandite)로
轉移^[1-4]된다고 본다.

그는 製造의 pH가 높으면 böhmite가生成한다고 하였고, 混水裝置들은 bayerite \rightarrow
hydrargillite로 轉移^[5]한다고 하였고, 無定形을 加熱할 때는 $\gamma\rightarrow\delta\rightarrow\epsilon\rightarrow\alpha$ 의 順으로, 또는
處理條件에 따라 無定形^[6] 摳 böhmite, bayerite, nordstandite 또는 hydrargillite^[7]로 轉
移되며, 암모니아水中에 서는 hydrargillite가 bayerite를 거쳐서 nordstandite, 다시 bayerite,
hydrargillite로 互逆轉移를 報告한 바 있다. 또한 結晶의 安定性은 nordstandite가 第一
으로, 다음이 bayerite이며 nordstandite^[8]가 낮다고 하였다. Sato^[9]의 依할 것 같으면,
hydrargillite를 300°C에서 热分算시킬 때 böhmite를 거쳐서 $\lambda\text{-Al}_2\text{O}_3$ 과 되든가 또는 直接
 $\lambda\text{-alumina}$ 로 變化되며, bayerite도 böhmite를 經由하거나 또는 直接 $\gamma\text{-alumina}$ 가 된다고 하
였다.

이에 著者들은 알루미나水和物이 老化過程에서 結晶화 및 結晶轉移에 미치는 濕度의 影響을
機轉을 把握하고자, 몇 가지 相異한 濕度下에서 試料를 長期間 保存하면서 物性變化를 電子顯
微鏡專用, X線回折像, 赤外線吸收스펙트럼 및 示差熱分析을 通하여 考察하였다.

實驗

試料의 製造 및 老化處理—鹽化알루미늄溶液에 碳酸나트륨溶液을 添加하여 最終pH를 7.5로
調整하여 製造하고 洗涤 乾燥하여 試料로 하였다. 同一試料를 4等分하여 相對濕度(30°C)
93%(1), 72%(2), 50%(3) 및 0%(4)恒濕・氣密容器속에 37±2°C로 保存하였다.

化學分析 및 制酸度試驗—各試料를 KP 乾燥水解化알루미늄濁液에 Al定量法과 制酸度試
驗法에 準하여 試驗하였다.

X線回折像—老化過程의 試料를 一定한 期間에 取하여 desiccator 속에서 乾燥한 다음
Shimadzu GX-2B型 X線回折機를 使用하여 測定하였다. 測定條件은 Cu K α (Ni filter),
2°/min로 測定하여 $n\lambda=2dsin\theta$ 에서 2 θ 의 值를 求하고 X線粉末 data ASTM規格에 依하여
結晶型을 確認하였다.

IR-Spectrum—KBr disc法에 依하여 JASCO-IR-S型으로 desiccator 속에서 乾燥한 後常法
에 以 4,000~700cm $^{-1}$ 까지 測定하였다.

DTA 分析—各 試料를 desiccator 속에서 乾燥한 다음, Shimadzu DT-2B型을 使用하여 常
法으로(昇溫速率 20°/min, chart speed 60cm/min.) 測定하였다.

電子顯微鏡寫真 · 在 濕度下에 서 5年間 老化된 試料를, JEM 100CX 電子顯微鏡을 使用하여 scanning electron micrograph를 测定하였다.

結果 및 考察

알루미나水和物을 4種의 相異한 濕度下에 서 3年間 老化된 結果, 速度가 높을수록 老化, 結晶화가 促進되었으며, 測定能도 低下되는 同時에, 濕度下에서는 30日以後부터 結晶이 形成되어 bayerite型으로 变된다. 이로 由하여 相對濕度 50%에서 老化된 試料는 老化速度가 緩慢하고 4個月以後부터 結晶화가 徐徐히 進行되어서 5年後에는 boehmite로 되었고, 相對濕度 0%는 nordstrandite의 微細粒子로 变하였다. 即同一한 條件에서 製造된 同一試料일지라도 濕度差異에 由하여 形成되는 結晶型의 粒子의 크기가 달랐고, (清水義勝⁶⁻¹⁰등) 報告한 互變性의 結晶轉移現象은 鑒察할 수 없었다.

濕度가 알루미나水和物의 結晶化를 加速시키는 機轉을 考察하여 보면, Al^{3+} 이온이 濕度下에서 一次적으로 $\text{Al}(\text{H}_2\text{O})_6^{3+}$ 型의 八面體配位를 形成하고, 配位된 H_2O 分子는 Al^{3+} 이온을 向한 酸素에 配向한다. 이에 높은 Al^{3+} 이온의 電荷는 配位된 H_2O 의 O-H結合을 弱化시켜서 proton을 쉽게 除去한다. 이와같이 水和된 $\text{Al}(\text{H}_2\text{O})_6^{3+}$ 이온이 첫 段階에서 配位된 물의 1分子가 脫proton을 하게되고 ($\text{Al}(\text{H}_2\text{O})_6^{3+} \rightleftharpoons (\text{Al}(\text{OH})(\text{H}_2\text{O})_5^{2+} + \text{H}^+$), 二段階로서 2개의 脫proton 八面體가 二重體를 形成하여서 ($2\text{Al}(\text{OH})(\text{H}_2\text{O})_5^{2+} \rightleftharpoons \text{Al}_2(\text{OH})_2(\text{H}_2\text{O})_8^{4+} + 2\text{H}_2\text{O}$) Al^{3+} 이온 間에는 二重水素橋를 이루게 된다. 이 二重體는 脫proton-脫水反應에 依하여 사슬構造나 環構造를 形成할 수 있으나, 사슬構造는 OH/Al比가 最高 2이기 때문에, 實驗的으로 求한 2.55 또는 2.38¹²⁾을 수 없을 뿐 아니라 OH/Al比가 3인 結晶을 形成할 수 없기 때문에 結晶化過程은 6原子環을 形成하게 될 것이고, 構造中에서 Al原子에 對한 構造性 OH基 比率이 커짐에 따라 重合이 進行된다고 볼 수 있다. 따라서 構造體의 크기가 增加함에 따라 OH/Al比는 3에 接近하고, 이는 六原子環 hydroxy aluminum 粒子로 成長하여 倍數의 크기로 增加하게 될 것이다. 即 鑄體中の fused ring수가 많아질수록 Al에結合된 hydroxide比가 定量的으로 增加될 것이다. 由此서 채음에 沈澱된 粒子는 主로 10個의 fused ring인 重合體 $\text{Al}_{12}(\text{OH})_{14+} \cdot 28\text{H}_2\text{O}$ 의 構造를 가지며, Al에結合된 hydroxide比가 2.56이 된다. 이에 모든 OH群은 Al原子間에 二重水酸基橋로 存在하지만 가장자리 Al에 單一結合으로 存在할 수도 있다. 이 때에는 Al原子數에 對한 非構造性 OH群의 比가 1의 重合에서 應則되는 값보다 더 큰 값을 가질 것이다.

또는 粒子間의 van der Waals引力과 電氣二重層의 反撥力의 相互作用으로 이루어지는 有効衝突數의 分率에 依하여 粒子의 凝集이 發生한다고 가정된다. 即 粒子間의 引力과 反撥力의 interaction energy三線에서, 凝集은 secondary minimum에 依해서 일어난다. 凝集의 形態는 完全¹³⁾可逆的¹⁴⁾三. 粒子間의 平衡距離는 電氣二重層 두개의 數倍가 된다. 粒子間의

potential energy 障壁 때문에 -暨 proton 脫水反應 速度는 遲延될 것이다. 그러나 反應을 일으키는 各衝突은 陽荷電된 가장자리 Al^{3+} 이온의 中和로 因하여 表面potential이 높아질 것이다. 이 過程에 隨著되어 表面 potential이 0에 接近하게 되면은 potential energy maximum과 secondary minimum은 消失된다. potential energy 障壁의 去去는 脫proton 脫水反應 速度를 增加시키게 되고, 反面에 secondary minimum 去去는 系가 deflocculation되거나 分散되어야 한다. 각각서 重合現象은 系의 hydroxy aluminum粒子가 더욱 成長하고 더욱 規則的으로 配列되는 結果로서 酸에 對하여 抵抗하는 것이다.

錯體의 理論은 Hem^{2+} 의 吸着 陰이온量과 老化의 關係에서도 考察할 수 있다. 即 gel속에서 結合된 陰이온은 gel이 老化되면서 徐徐히 放出된다. 이 結果 系中에는 hydroxide가 增加하면서 重合이 進行되고, 陰이온은 hydroxy aluminum粒子에서 陽으로 荷電된 가장자리

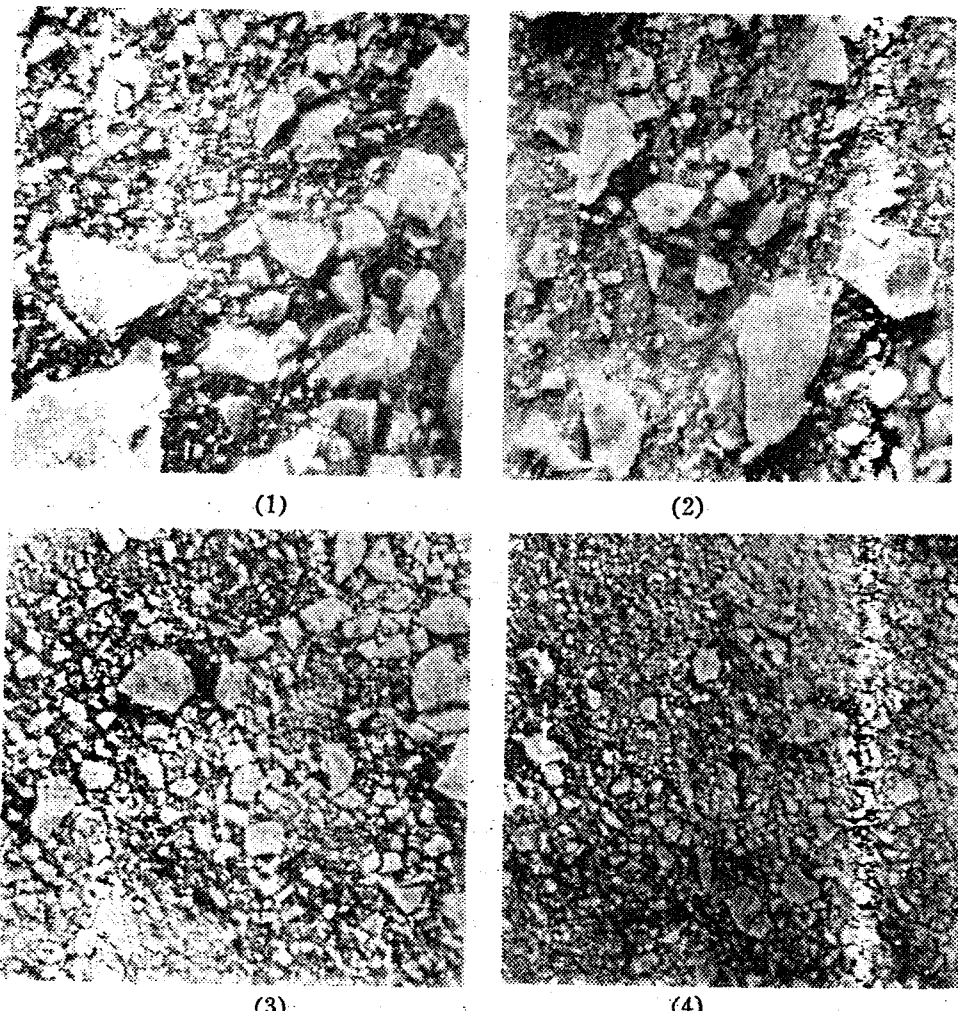


Figure 1—Scanning electron micrographs after aging for 5 years. Key: (1), 100% R.H.; (2), 72% R.H.; (3), 50% R.H.; (4), 0% R.H.

Al原子와 結合할 것으로 推測된다. 이와같이 結合된 隅이온은 가장자리 Al^{3+} 이온의 二次加水分解를 阻止할 것이며 粒子間에 二重水酸橋를 形成할 것이다. [陰] 은의 結合은 二次加水分解過程을 阻止하지만 그 結合力은 充分하지 못하기 때문에 老化를 完全히 阻止하지는 못한다.

電子顯微鏡上으로 結晶型을 正確히 判讀할 수는 없으나 濕度와 結晶粒子와의 關係가 明白하다. 即 相對濕度 96%下의 試料는 粒子가 가장 크고, 다음은 72%, 50%의 順이고 0%가 가장 微細하다. 이는 濕度下에서 脫proton-脫水反應이 일어나서 重合이 계속되어 粒子가 成長하는 結果로서 앞서 論한 脫proton-脫水 機轉을 立證한다. hydrous aluminum oxide의 周圍에 水分이 吸着되면 gel의 proton은 脫proton이 일어나서 減少하게 되고, 그 結果 gel의 hydration膜에 있는 Al^{3+} 群의 proton density가 變化될 것이다. 따라서 水素이온 濕度와 濕度가 높으면 이러한 現象은 強化될 것이다, 이는 結晶化 即 重合反應이나 凝集反應을 加速시킬 것이다.

X-線 回折像을 觀察하면 高濕下에서 老化시킨 試料와 低濕下에서 老化시킨 試料間에는 明確한 差異를 볼 수 있다. 高濕下에 貯藏된 試料는 이미 15日頃에 2θ값 36~42°에서 結晶性 peak가 나타나기 始作하고 約 30日이 經過하면 2θ값 18~20°範圍에서 peak가 出現하여 以後急速히 成長하여 가장 強力한 peak로 發展하는 同時에 制酸能의 大部分이 消失되며 結晶型은 bayerite(Fig. 2)로 成熟된다.

低濕下에서 老化된 試料는 約 6個月 後부터 結晶이 形成되기 始作하여 成長하나 그 過程은 明確히 觀察되지 않고, 5年後의 結晶型은 相對濕度 50%의 試料가 böhmite, 0%의 試料는 nordstandite로 定着되었고, 中間에 어떤 結晶轉移現象은 찾아볼 수 없었다. 다만 制酸能의 減少에 比하여 構造上의 變化가 銳敏하게 變하지 않는 것으로 나타났다.

高濕下의 試料가 約 15日後부터 2θ값 36~42°에서 peak가 먼저 形成되고 成長하지만 約 30日後부터 形成되는 18~20°附近의 2개의 peak는 時日이 經過함에 따라 먼저 생긴 36~42° peak보다 強度가 輒선 커져서 가장 큰 peak로 成長한다(Fig. 2). 制酸能은 앞서 생긴 peak까지는 中和速度가 加速되고 以後 18~20°의 peak가 出現할 때까지는 中和能이 잡자기 低下되었다. 即 18~20°에서 peak가 나타나기 前, 老化初期에 觀測되는 面間距離 2.1~2.5 Å인 36~42°에서 peak가 나타나는 것은 原子間 距離를 2.1~2.5 Å 갖는 原子双極規則의 配列되었음을 示唆하며, 이 때까지는 酸을 中和할 수 있는 狀態라고 생각된다. 그러나 老化가 進行되어 18~20°에서 peak가 出現할 때는 真結晶化가 進行되는 過程이라고 생각이 되며, 이 때 原子들은 酸을 中和할 수 없는 不活性狀態로 配列되었다고 생각된다.

以上의 X-線上所見은 Gerner¹⁴⁻¹⁵⁾의 理論과 一致하였다. 即 結晶化 過程은 二段階로 成る. 하나는 核의 形成이고 다음은 結晶의 成長이다. Fig. 2에서 36~42°에 나타나는 弱하고 廣範한 回折은 誘導期에 해당하며 18~20°의 peak가 出現하여 發達하는 過程은 結晶化의 成長期라고 볼 수 있다. 따라서 高濕下의 試料에 있어서 誘導期는 15日 程度이나 低濕下에서는相當히 遲延된다고 보여진다.

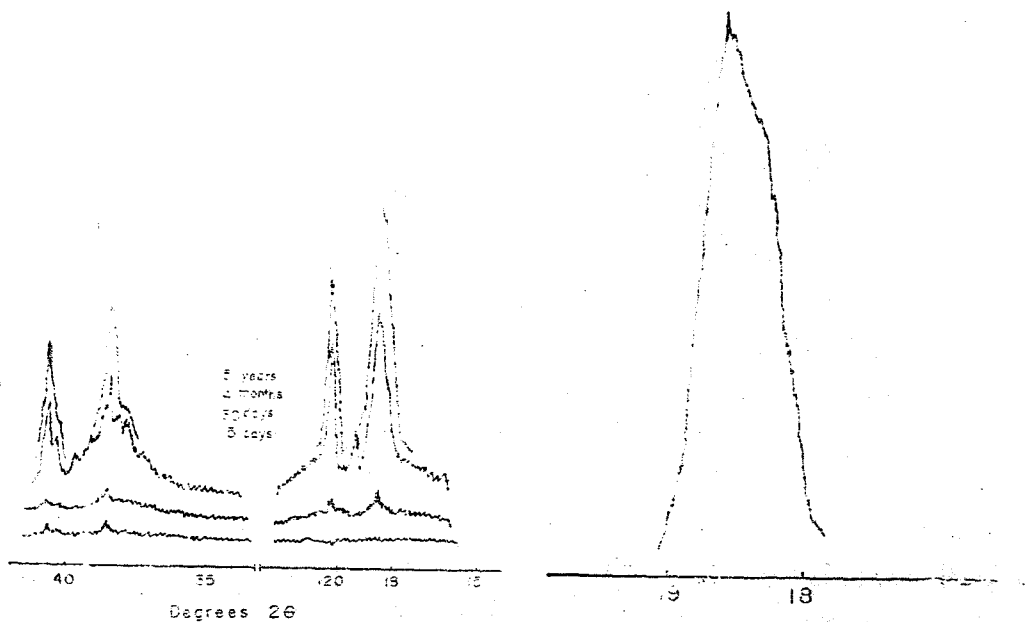


Figure 2—Change in X-ray diffraction pattern of hydrous aluminum oxide during aging in higher humidity.

Figure 3—X-ray diffraction of hydrous aluminum oxide aged in higher humidity for 5 years.

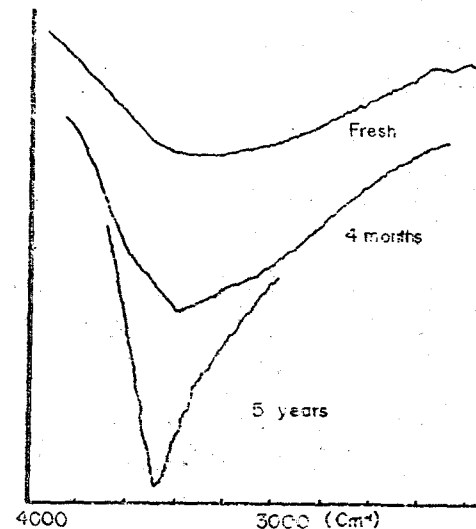


Figure 4—Change in O-H stretching frequency region of IR spectrum of hydrous aluminum oxide during aging in higher humidity at 37°.

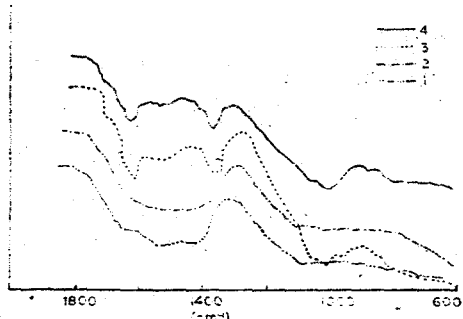


Figure 5—Change in O-H bending frequency region of IR spectrum of hydrous aluminum oxide after aging in various humidity for 5 years. Key: 4, 96%; 3, 372%; 2, 50%; and 1, 0%.

2θ 약 18~20°領域에서 強力한 peak를 檢查하던 Fig.3과 같다. Nogami¹⁶⁾등은 hydrous aluminum oxide를 암모니아水 中에서 老化시켰을 때 18.5° ($d = 4.79\text{\AA}$)의 값을 갖는 nords-

standite¹⁷⁾를 確認하였다. 但本試料은 hydrargillite ($2\theta = 18.30^\circ$, $d = 4.54\text{\AA}$)와 bayerite ($2\theta = 18.50^\circ$, $d = 4.72\text{\AA}$) 및 nordstandite, pseudo böhmite를 各各 確認하지 있으나, 本試料의 산화는 72%와 97%의 高温下의 試料는 bayerite 와 结晶화를 確認할 수 있었다.

赤外吸收 spectrum을 考討하면 3,600~3,200cm⁻¹附近과 1,600~1,400cm⁻¹附近에서 特性의 帶을 나타낸다. 3,500~3,400cm⁻¹의 集中된 넓게 擴散된 吸收는 潤滑한 OH基와 吸着水의 νOH의 特性하고, 1,630cm⁻¹의 吸收는 吸着水의 δOH로 看做된다. 1,600~1,400cm⁻¹의 吸收는 δAl-O의 overtone으로서 νOH強度의 約半分량이다. 또한 900cm⁻¹는 OH deformation vibration으로 解析된다. 加水分解時에 使用한 carbonate¹⁸⁾의 吸收가 1,400cm⁻¹와 1,550cm⁻¹에서 나타났다.

低濕下에서 老化된 試料는 3,400cm⁻¹에서 吸收 spectrum을 나타나는데 反하여 高濕下의 試料는 3,500cm⁻¹로 shift되었다. νOH와 δOH는 化學的環境에 依해서 크게 영향을 받기 때
문에 당초 3,600~3,200cm⁻¹領域의 寬闊한 吸收帶는 水分子 狀態의 OH群을 提示하고 있어서沈殿時의 심한 無秩序狀態¹⁹⁾를 나타낸 것이라고 생각된다. 老化過程中 4個月後의 吸收帶를比較하면 高濕下의 試料와 低濕下의 試料가 類似한 吸收形을 나타내지만 3,400cm⁻¹와 1,630cm⁻¹및 1,060cm⁻¹에서 特性的in 差異를 보인다. 高溫下의 試料가 約 15日까지는 매우 無秩序한 配列을 나타내다가 漸次 老化가 進行됨에 따라서 νOH領域이 高濕度等으로 移動이 되고 peak가 날카롭게 좁아진다. 이에 反해서 1,600cm⁻¹附近의 bending vibration은 점차 消失되고 shoulder가 1,060cm⁻¹에서 發達하여 peak로 變形된다.

3,500cm⁻¹에서 吸收 peak는 濕度가 높을수록 날카롭다. 이것은 hydrous aluminum oxide의 構造에서 Al³⁺이 周圍에 있는 H₂O分子와의 結合狀態를 나타내는 것이며, 이는 또한 構造內의 水素結合이 減少된 狀態라고 解析된다. 即 不規則한 原子나 原子群들이 어떠한 結晶構造의 整然한 配列로 轉移되는 過程의 初期에 있어서 固體의 鹽基度를 增加시키기 為하여 原子나 原子双의 構造部位가 中和速度를 加速시킬 수 있도록 一時的으로 表面을 增加시키는 것 같다. 老化가 進展됨에 따라서 hydrous aluminum oxide內에 있는 Al³⁺이온이, 強한 水素結合을 하고 있는 H₂O分子와 結合할 수 있고, 이것은 Al-OH의 秩序있는 配列로 變化되는 것이며, H₂O는 Al에 配位되며 倾向으로 보아진다.

老化前의 DTA分析曲線은 220°C附近에서 吸熱 peak가 나타났고, 各種 恒濕下에서 5年間老化시킨 試料에 있어서는 約 300°C附近에서 큰 差異를 나타낸다. 低濕下에서 老化된 試料는 220~300° 및 380°附近에서 弱한 吸熱反應이 보이는데 反하여 高濕下에서 老化된 試料는 約 240°에서 弱한 吸熱反應이 나타나고 300°C에서는 가장 强한 吸熱 peak가 나타나서 低濕試料와 特性的in 差異를 보인다. 일의 220~240°C의 吸熱 peak는 脫水反應으로 推定되며 300°C의 peak는 結晶의 轉移點으로서 無定形 χ -alumina¹⁰⁾가 되는 點으로 생각된다. 相對濕度 50%의 試料는 弱하나는 220°附近의 peak가 böhmite로 轉移되는 點일수도 있겠으나 nordstandite와 區別이 分明하지 않다. 그 밖의 微弱한 反應點이 몇 군데 있으나 結晶型과 調

瞬시켜 驟然하니 吳下^下으며 多形轉移^{転移}으로 推測된다.

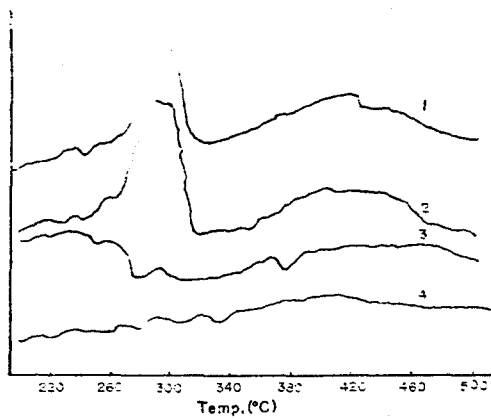
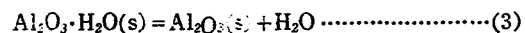
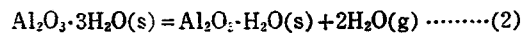
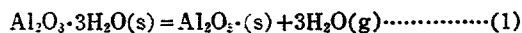


Figure 6—Differential thermal analysis curve of hydrous aluminum oxide aged in various humidity for 5 years at 37°. Key: (1), 96%; (2), 72%; (3), 50%; (4), 0 %.

알루미나水和物의 加熱脫水過程은 試料의 製法에 따라서 相異하다. sodium aluminate溶液을 加水分解하여 生成될 때에는 hydrargillite→bohmite→γ-alumina→δ-alumina→θ-alumina→α-alumina와 hydrargillite→χ-alumina→κ-alumina→α-alumina로, 粒子의大小에 따라서 2가지 經路를 거쳐서 α-alumina로 轉移¹⁰⁾된다는 報告와, alumina의 3水和物은 直接 α-alumina로 變한다는 說이 있어서 明確하지 않으나 本 實驗의 結果에서는 高濕下의 試料는 amorphous에서 直接 bayerite로 轉移되는 것을 明確히 確認할 수 있었고, 低濕下의 試料는 (過程) 不明하여 中間經路의 有無가 確認되지 않았다.

그러나 無定形알루미나水和物의 老化成積體가 三水和物 Al₂O₃·3H₂O라고 假定한다면 이의 脱水分解 過程을 热力學的으로 다음과 같이 생각할 수 있다.



(1)式에서 生成되는 Al₂O₃는 χ-Al₂O₃ 또는 η-Al₂O₃이며, (2)式에서 生成되는 Al₂O₃·H₂O는 bohmite이며 (3)式에서 生成되는 alumina는 γ-Al₂O₃라는 報告¹⁰⁾가 있다. 따라서 알루미나三水和物이 알루미나一水和物을 거친는 (2)式의 經路를 通한다면 中間體로서 bohmite의 生成을 期待할 수 있으나 이는 热分解過程일뿐 37°의 相異한 濕度下에서의 老化過程에서는 適用되지 않았고 다만 각 反應의 遊離 energy增加를 각각 ΔG₁^o, ΔG₂^o 및 ΔG₃^o타 하고 一定한 濕度下에서의 각 分解壓을 P₁(H₂O), P₂(H₂O) 및 P₃(H₂O)라고 하면, ΔG₁^o = -RTlnP₁^o(H₂O), ΔG₂^o = -RTlnP₂^o(H₂O), ΔG₃^o = -RTlnP₃^o(H₂O)에서 P₃^o = P₂^o·P₁^o가 誘導되기 때문에 P₂ 및 P₃를 測定하여 P₁을 算出할 때 實測値과의 一致與否로 結晶型을 確認할 수 있겠다.

結論

1. 濕度는 알루미나水和物의 結晶화에 크게 影響을 주는 因子로서, 老化 結晶화 및 粒子変에 比例的으로 作用한다.
2. 72%以上의 高濕下에서의 老化過程은, X線回折의 2θ값 36~42°와 18~20°에서 二段階로 나타나며, 前者は 核의 形成段階, 後者は 結晶의 成長段階로 看做된다.
3. 恒濕下에서, 相對濕度 72%以上의 環境으로 5年間 老化된 成積體는 bayerite, 50%에서는 böhmite, 그리고 0%에서는 微粒子의 nordstandite가 直接 生成되었으며 中間體가 形成되는 轉移過程은 確認되지 않았다.
4. 高濕下에서 老化가 促進되는 機轉은 Al^{3+} 이온이 濕度下에서 多核 hydroxy aluminum錯體를 形成하고 脫 proton-脫水反應에 依하여 形成된 6原子環의 fused ring이 다시 重合되는 過程으로 推定된다.

文獻

- 1) 清水義勝 et al., 工化., 67, 788(1964)
- 2) Stanley L. Hem. et al., *J. Pharm. Sci.*, 64, 1166(1970)
- 3) 李啓胄, 藥學會誌, 19, 219(1975)
- 4) 李啓胄 et al., *ibid.*, 21, 101(1977)
- 5) 趙文惠, *ibid.*, 8, 57(1964)
- 6) 清水義勝, et al., 工化 55, 194(1952)
- 7) 清水義勝 et al., *ibid.*, 62, 30(1959)
- 8) 清水義勝 et al., *ibid.*, 67, 1187(1964)
- 9) 清水義勝 et al., *ibid.*, 67, 1387(1964)
- 10) 清水義勝 et al., *ibid.*, 67, 148(1964)
- 11) T. Sato, *J. Appl. Chem.*, 9, 331(1959)
- 12) L. Steven et al., *J. Pharm. Sci.*, 65, 1188(1976)
- 13) H. Nogami et al., *Chem. Pharm. Bull.*, 14, 159(1966)
- 14) W.E. Gerner: "Chemistry of solid state" Butterworth Scientific Pub., London (1955).
- 15) Grystal Growth, *Disc. Farad. Soc.*, 5, (1949)
- 16) H. Nogami et al., *Chem. Pharm. Bull.*, 14, 225(1966)
- 17) R.A. van Nordstrand et al., *Nature*, 177, 713(1956)
- 18) D. Papee et al., *Bull. Soc. Chim. France*, 1301(1958)
- 19) J.L. White, *Soil Sci.*, 112, 22(1971)